

فقد التحريض المغناطيسي في المولدات التزامنية وأثره في خروج الآلة عن الاستقرار

محمود حسين موسى

قسم الهندسة الكهربائية والإلكترونية

كلية الهندسة - جامعة الفاتح

ص.ب 13275 طرابلس

ABSTRACT

In this paper a new digital relaying algorithm is introduced for the protection of synchronous generators against loss of field conditions. The new algorithm is based on measuring the three-phase reactive power output of the machine, and monitoring the direction and magnitude of the reactive power at the machine terminals. The protection algorithm is designed such that it can provide a reliable protection against loss of field conditions and remains stable during recoverable power system swing conditions. While the new relay produces trip signal for partial loss of field conditions causing the machine to loose its stability, it remains stable for partial loss of field conditions which can be corrected via machine excitation and VAR systems.

الملخص

سيتم في هذه الورقة عرض منظومة وقاية جديدة لحماية المولدات التزامنية عند تعرضها لفقد التحريض المغناطيسي. تعتمد هذه المنظومة في عملها على متابعة القدرة غير الفعالة عند أطراف الآلة عن طريق تحديد إتجاه سريانها ومقداره ومن ثم يمكن الحكم على وضعية التحريض المغناطيسي بالمولد. صممت هذه المنظومة لتتوفر حماية أكيدة للمولد عند فقد التحريض المغناطيسي مع التأكيد على بقاء تلك المنظومة مستقرة عند حدوث أعطال إنتقالية شديدة أخرى داخل أو خارج المولد.

برهنت هذه المنظومة من خلال المحاكاة بالحاسوب على مقدرتها على إكتشاف فقد النسبى لبعض ملفات التحريض المغناطيسي التي قد ينتج عنها خروج الآلة عن الاستقرار مع الشبكة وفي ذات الوقت بقيت هذه المنظومة مستقرة عند فقد الجزئي لملفات التحريض المغناطيسي التي يمكن معالجتها دون أن تسبب في خروج الآلة عن الاستقرار .

الكلمات المفتاحية: فقد التحريض المغناطيسي ؛ القدرة الغير الفعالة ؛ فقد الاستقرار ؛
الألغوريثم ؛ تيار التحريض المغناطيسي ؛ المولدات المتزامنة

مقدمة عامة

تتعرض الآلة عند فقد التحريض المغناطيسي للمولدات الكهربائية العاملة والمتعلقة بالشبكة العامة للعديد من التأثيرات من أهمها الزيادة في السرعة الدورانية للعضو الدوار عن السرعة التزامنية حيث تتحول الآلة إلى مولد حتى يستمد قدرته غير الفعالة من الشبكة العامة. ينتج عن هذه الوضعية أثار كبيرة على الآلة وعلى الشبكة منها [2-6]:

- 1- زيادة كبيرة في تيارات التحويل بعضو الإنتاج بالمولد.
 - 2- تولد تيارات حثية على السطح الخارجي للعضو الدوار عند التردد الإنزلاقي مما ينتج عنها ارتفاع شديد في درجة حرارة العضو الدوار .
 - 3- هبوط شديد في جهد خطوط النقل الناتجة عن سريان الزيادة في القدرة غير الفعالة المسحوبة بالآلة مما قد ينتج عنه خروج تلك الخطوط من الشبكة.
- لهذه الأسباب فإن فقد التحريض المغناطيسي كلياً أو جزئياً بالمولدات التزامنية لابد من إكتشافه مبكراً والعمل السريع على تصحيحه أو إخراج الآلة عن الشبكة بالسرعة المناسبة وذلك لحماية الآلة أولاً والشبكة المتصلة بها ثانياً.

المؤشر الأولي لاحتمال فقد التحريض المغناطيسي بالآلات المترادفة هو التزايد الملحوظ في القدرة غير الفعالة المسحوبة من الشبكة للتعميق عن فقد التحريض المغناطيسي. هذه الحالة يمكن إكتشافها بإستخدام الحماية المسافية [3-2]، حيث عند فقد التحريض المغناطيسي تقع المعاوقة المقاسة عند أطراف الآلة داخل خواص التشغيل للمرحل المسافى. ولكن من أهم عيوب المرحل المسافى هو البطل الشديد فى إكتشاف فقد الجزئى لملفات التحريض المغناطيسي وكذلك تأثيره بالأعطال الخارجية الشديدة التى قد ينتج عنها فصل المولد عن الشبكة خطأ [2, 6]. تم في هذه الورقة تقديم منظومة رقمية جديدة لحماية المولدات الكهربائية عند تعرضها لفقد التحريض المغناطيسي جزئياً أو كاملاً، إنتماداً على قياس مقدار وإتجاه القدرة غير الفعالة عند أطراف المولد. لقد برهنت هذه المنظومة الجديدة على فعاليتها الشديدة في إكتشاف فقد التحريض المغناطيسي بالسرعة المناسبة قبل وصول الآلة إلى مراحل الخروج عن الإستقرار، وكذلك برهنت هذه المنظومة على قدرتها على البقاء مستقرة عند الأعطال الإنقالية الشديدة الأخرى داخل أو خارج الآلة.

القدرة غير الفعالة بالمولد

يمكن حساب القدرة غير الفعالة الخارجية عند أطراف المولد Q من المعادلة [10,11]:

$$Q_t = 3 \left[\frac{E_q \cdot V_t}{X_d} \cos \delta - \frac{V_t^2}{X_d} \right] = Q_F + Q_N \quad (1)$$

ونلاحظ من هذه المعادلة أن القدرة غير الفعالة تتكون من مركبتين:

- المركبة Q_F وهى تمثل القدرة غير الفعالة المنتجة داخلياً بالمولد بواسطة التحريرض المعناطيسي، وتعتمد على الجهد الداخلى E_q وزاوية التحميل δ .
- المركبة Q_N وهى تمثل القدرة غير الفعالة المسحوبة من الشبكة العامة، وتعتمد على الجهد عند أطراف المولد.

من هذه المعادلة يمكن ملاحظة الآتى:

عندما $Q_N > Q_F$ حيث يقوم المولد بإنتاج قدرة غير فعالة زائدة عن حاجته، يتم حقنها بالشبكة. في هذه الحالة يكون المولد ذو تحريرض متزايد وله معامل قدرة لاحق وتعتمد حدود تشغيله على مقدار تيار التحريرض المسموح به.

- عندما $Q_F = Q_N$ تكون القدرة غير الفعالة المولدة داخلياً مساوية تماماً للقدرة غير الفعالة الممتصلة من الشبكة، وفي هذه الحالة يكون معامل قدرة المولد مساوى للوحدة.
- عندما $Q_N < Q_F$ يكون المولد ذو تحريرض متناقص ويتم سحب إحتياجاته من القدرة غير الفعالة من الشبكة العامة.
- عند توصيل مولد كهربائى بالشبكة العامة فإن معادلة النهايات التحميلية للمولد معطاة بالمعادلة (10):

$$P_t^2 + \left[Q_t - \frac{V_t^2}{2} \left(\frac{1}{X_s} - \frac{1}{X_d} \right) \right]^2 = \left[\frac{V_t^2}{2} \left(\frac{1}{X_s} + \frac{1}{X_d} \right) \right]^2 \quad (2)$$

وهي معادلة دائرة فى مستوى (P, Q) وتقطع محور القدرة غير الفعالة Q عند نقطتان تمثلان نهايتها التحميل بالقدرة غير الفعالة. والقدرة غير الفعالة القصوى المسحوبة من الشبكة عند معامل قدرة متقدم مساوى للصفر هي: Q_{max}

$$Q_{max} = -\frac{3V_t^2}{X_d} \quad (3)$$

وفي واقع الأمر فإن المولد لا يمكن تشغيله عند هذه النقطة، حيث تمثل نقطة عدم استقرار $\{ \delta = 90^\circ \}$ ، ويكون عندها المولد قد فقد إستقراره فعلياً مع الشبكة. وبذلك فإن أقصى قدرة يمكن أخذها كمستوى لقياس فقد الإستقرار تقع في حدود $\{ Q_{max} = 0.6-0.8 \}$. وبذلك فإن القدرة غير الفعالة التي يحدث عنها فقد التحرير S {القدرة التي يقوم عندها هذا المدخل الرقمي بإصدار الأمر بفصل المولد عن الشبكة (مستوى اللقط)} هي:

$$S = 0.8 Q_{max} \quad (4)$$

الألغوريثم

عند تعرض ملفات المجال المغناطيسي لأعطال كحدوث دائرة قصر أو حدوث إنقطاع لتيار التحرير المغناطيسي، فإن تيار التحرير يبدأ في التناقص التدريجي إلى أن يهبط للصفر بعد فترة زمنية معينة. وخلال تلك الفترة تتناقص القدرة غير الفعالة Q_F المولدة داخلياً بنفس الأسلوب ويتم التعويض عن ذلك التناقص بسحب قدرة غير فعالة من الشبكة العامة. ويلاحظ خلال هذه الفترة أن القدرة غير الفعالة الكلية Q تبدأ بالتناقص التدريجي مروراً بالصفر ثم ينعكس إتجاهها ويبداً المولد بسحب كافة حاجته من القدرة غير الفعالة من الشبكة العامة إلى اللحظة التي تفقد فيها الآلة الإستقرار ويتم إخراجها من الشبكة. من خلال المقدمة السابقة يمكن وضع خطوات عمل منظومة الحماية الجديدة {الألغوريثم} كالتالي:

- حساب القدرة غير الفعالة اللحظية $(n) Q$ بأخذ عينات لتيارات وجهد الأطوار عند أطراف الآلة والتعويض بالمعادلة [13,14]:

$$Q(n) = \frac{1}{\sqrt{3}} [v_a(n)(i_b(n) - i_c(n)) + v_b(n)(i_c(n) - i_a(n)) + v_c(n)(i_a(n) - i_b(n))] \quad (5)$$

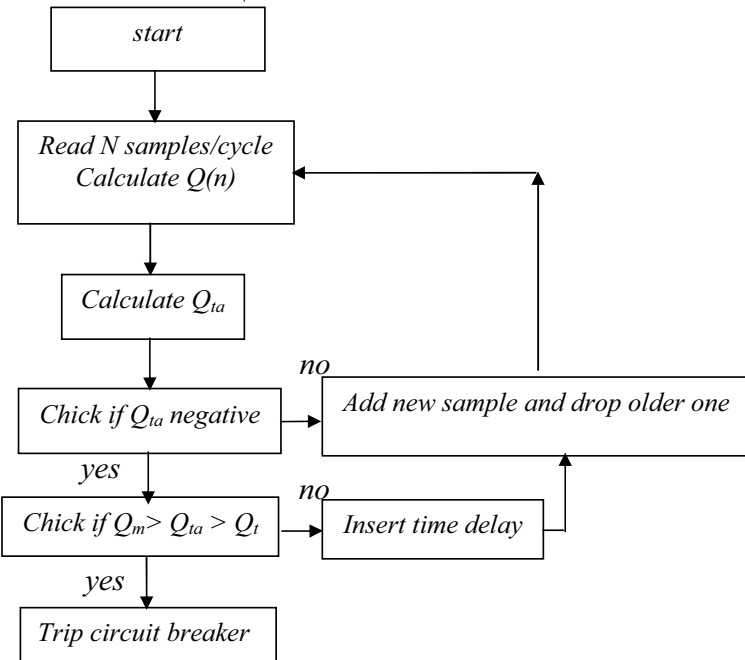
- حساب القدرة غير الفعالة المتوسطة Q_t بإستخدام نافذة ذات عدد N من العينات والتعويض بالمعادلة [14]:

$$Q_t = \frac{1}{N} \sum_{n=0}^{N-1} Q(n) \quad (6)$$

حيث عن طريق إستخدام هذه النافذة يتم التخلص من التشويش الناتج عن الترددات العالية الناتجة خلال الأعطال.

يقوم الألغوريثم على الدوام بمتابعة إتجاه سريان القدرة غير الفعالة Q ومقارنتها بمقاييس القطع S وعند تجاوز هذا الحد يقوم الألغوريثم بإصدار أمر القطع الفوري للقاطع الخاص بالمولد. كذلك يقوم الألغوريثم بمقارنة Q بالقدرة غير الفعالة Q_m المقابلة لمعامل قدرة 0.95

مقدم. وعند وقوع هذه القدرة ضمن المتباينة $\{Q_m > Q_t > S\}$ يقوم الألغوريثم بإدخال تأخير زمني مناسب وإصدار إشارة تتبيه للمشغل بالتدخل لإصلاح الوضع وإلاً تم فصل المولد عن المنظومة. التأخير الزمني هذا يكون من النوع *adaptive time delay* ويتناسب مقداره عكسياً مع نسبة فقد ملفات التحرير، حيث يزداد هذا التأخير الزمني كلما كانت نسبة الملفات المفقودة صغيرة ويتناقص في الحالة المغایرة. يصل هذا التأخير حده الأدنى عند فقد الكلى للتحريض المغناطيسى وبما لا يقل عن زمن 5 ديدبات من جهد الآلة المراد حمايتها للسماح للحالات العابرة بالتلاشي. ويمكن متابعة خطوات عمل هذا الألغوريثم من المخطط الإنسيابي التالي:

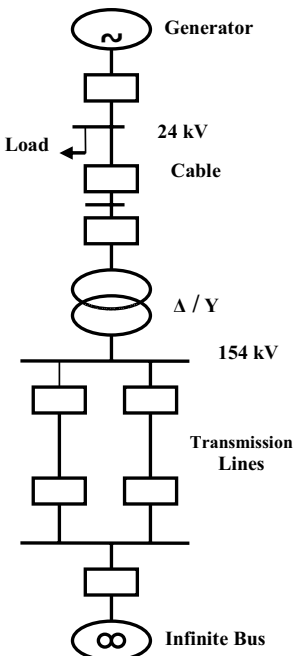


المخطط الانسيابي للألغوريثم المستخدم

المحاكاة بالحاسوب

لقد تم إجراء العديد من الدراسات بإستخدام الشبكة المبنية بشكل (1) للتأكد من فعالية الألغوريثم فى توفير الوقاية المناسبة للمولد عند تعرضه لفقد الكلى أو الجزئى لنيار التحرير المغناطيسى وكذلك للتأكد من إستقرارية الألغوريثم عند حدوث الأعطال العابرة الأخرى خارج أو داخل المولد. وقد بينت كافة الدراسات التى أجريت على دقة وسرعة هذا النظام فى التمييز بين أعطال دائرة المجال المغناطيسى والأعطال الطارئة الأخرى. وفي جميع الحالات التى تم

التعرض لها أمكن لهذا الألغوريثم إكتشاف حدوث العطب بدائرة المجال قبل خروج الآلة عن الإستقرار بالمنظومة، مما يعطي فرصة لعزل الآلة قبل تأثير باقى المنظومة بها. ويمكن ملاحظة ذلك بالرجوع الى المنحنيات المبينة بالاشكال من (2) إلى (6):



الشكل 1: الشبكة الكهربائية المستخدمة لدراسة فقد التحريض المغناطيسي

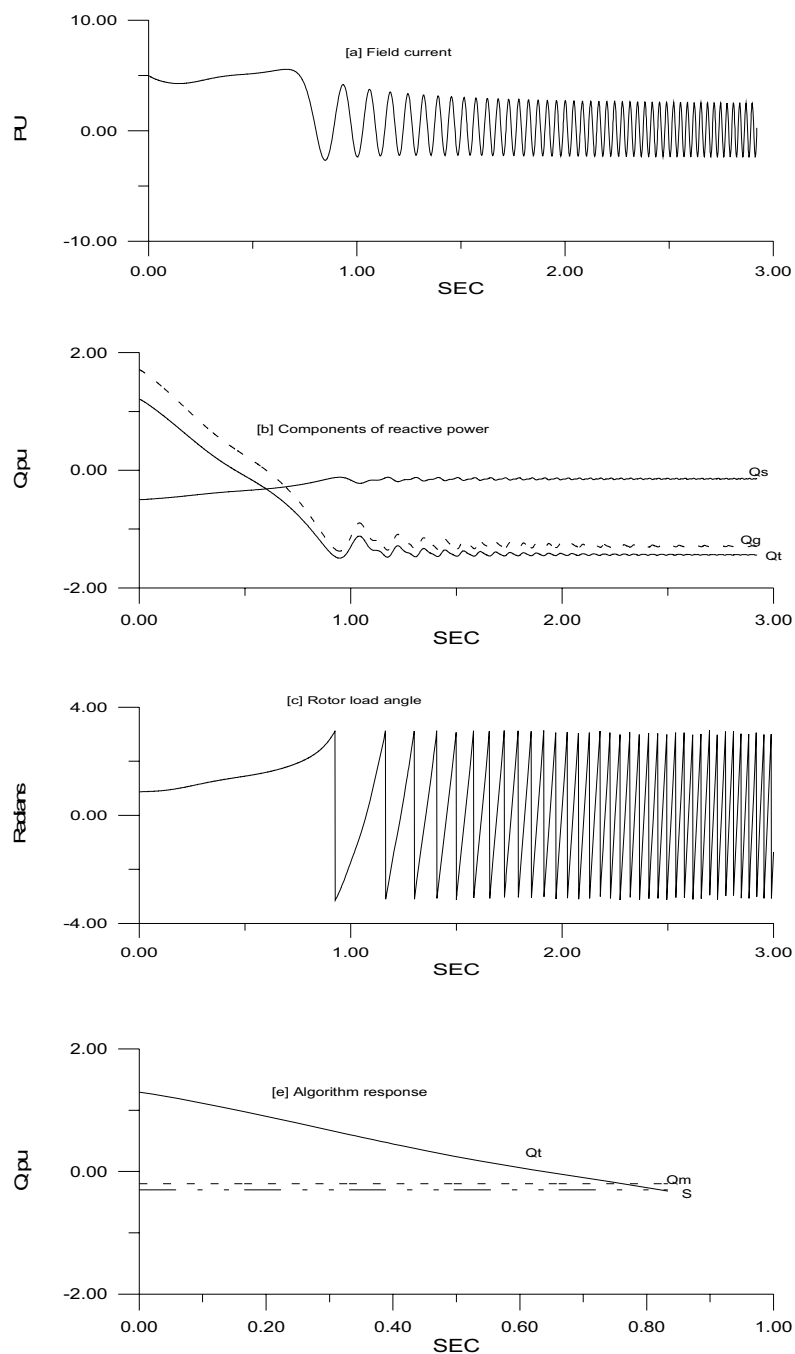
توضح المنحنيات المبينة بشكل (2) استجابة الألغوريثم عند فقد تيار التحريض المغناطيسي للمولد وهو محمل بالحمل الكامل عند معامل قدره 0.8 لاحق. ونلاحظ من خلال هذه المنحنيات أن تيار المجال للمولد يبدأ بالتناقص التدريجي بينما تزداد سرعة دوران المولد عن السرعة التزامنية وبعد زمن 0.816 ثانية يصدر الألغوريثم أمره بإخراج المولد عن الشبكة. ونلاحظ أن زمن إكتشاف فقد التحريض حدث قبل دخول الآلة مراحل فقد الإستقرار بزمن كافى. كذلك فى المنحنيات المبينة بالاشكال (4-3) يمكن ملاحظة إستجابة الألغوريثم لحالات آخرى من فقد التحريض المغناطيسي.

عند حدوث فقد جزئي لملفات المجال المغناطيسي كما هو مبين بالشكل (5) فنلاحظ أن منظم الجهد (AVR) يحاول التعويض عن هذا النقص بزيادة تيار المجال بالمولد. ولكن حيث أن نسبة كبيرة من ملفات المجال تم فقدانها فإن الألغوريتم يصدر أمراً بفصل المولد بعد مرور زمن 1.65 ثانية وذلك للحفاظ على المولد ولحماية باقى المنظومة. ونلاحظ كذلك أن زمن إكتشاف فقد الجزئي للتحريض حدث قبل دخول الآلة مراحل فقد الإستقرار بزمن كافٍ.

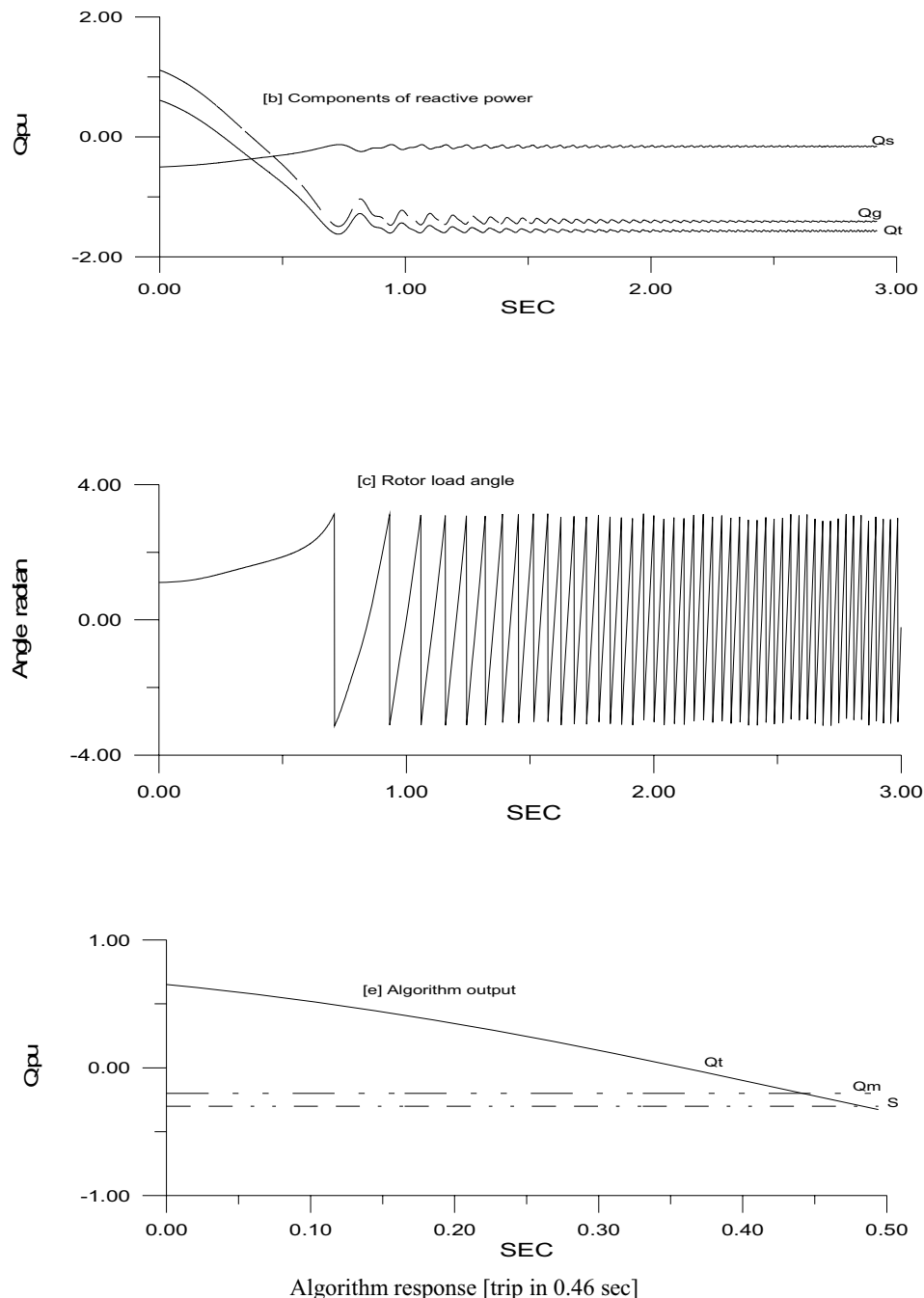
بينما نلاحظ في المنحنيات المبينة بشكل (6) إستجابة هذا الألغوريتم لأعطال خارجية شديدة تشمل عطلاً ثالثاً للأطوار على أطراف المولد، مع إعادة قفل على نفس العطب. ونلاحظ أن القدرة غير الفعالة ظلت موجبة ولم تتعدى حدود القطع 5 وظل الألغوريتم مستمراً ولم يتأثر بهذه الوضعية الشديدة وترك معالجتها لأجهزة الحماية الأخرى بعكس المرحل المسافى الذى لم يستطع الصمود عند هذا النوع من الأعطال الشديدة وكثيراً ما يقوم بفصل المولد خطأ.

الاستنتاج:

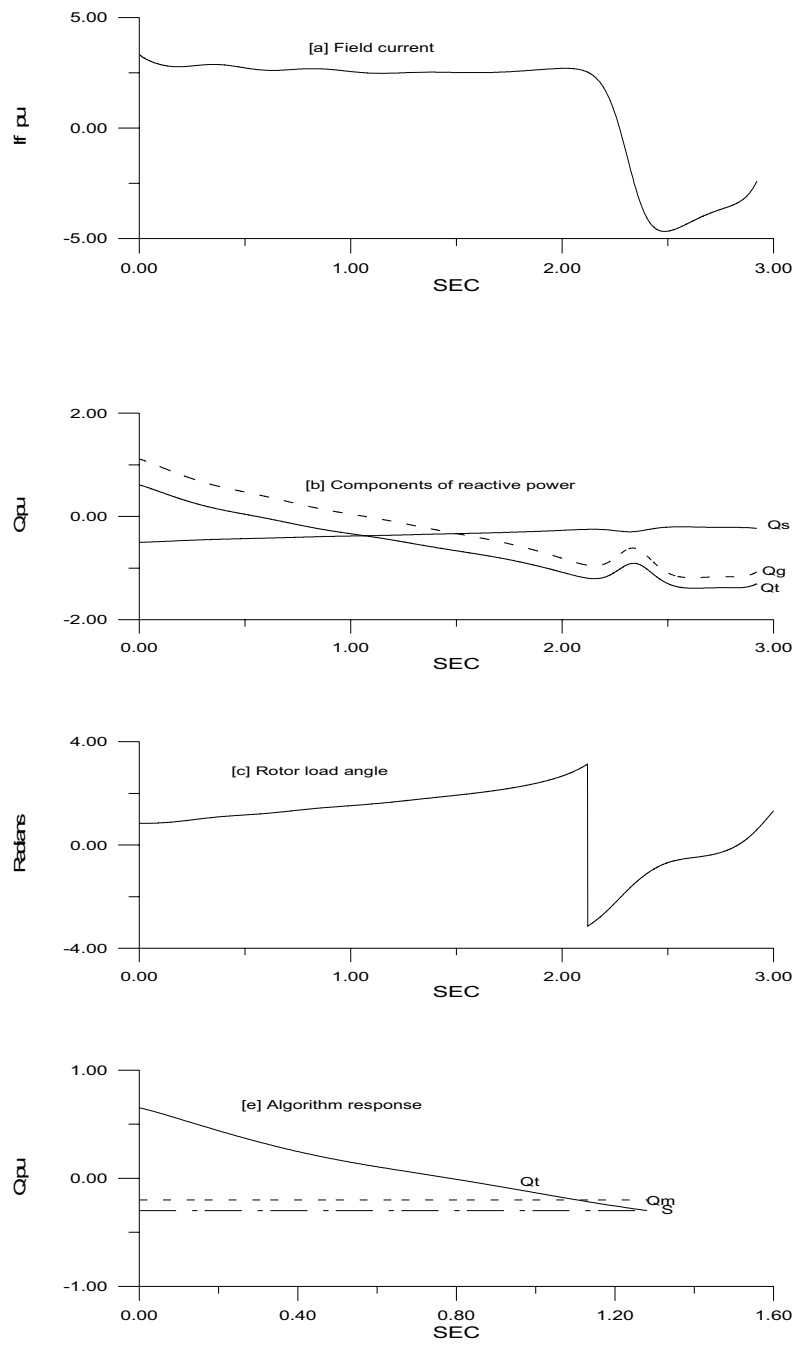
لقد تم في هذه الورقة إدخال نظام جديد لتوفير الحماية للمولدات التزامنية عند تعرضها لفقد التحريض المغناطيسي يعتمد على المتابعة اللحظية لمقدار وإتجاه القدرة غير الفعالة بالمولد عن طريق إستغلال الإمكانيات الهائلة التي توفرها المعالجات الدقيقة (*microprocessors*) في المتابعة اللحظية للوضع التشغيلي للمولد التزامني. وقد تبين من خلال المحاكاة بالحاسوب أن هذه الطريقة أثبتت فعالية كبيرة في إكتشاف أعطال دائرية المجال المغناطيسي للمولد خلال وقت قصير وقبل أن تفقد الآلة إستقرارها مع الشبكة. كما أثبتت هذه الطريقة فعاليتها في إكتشاف فقد الجزئي لبعض ملفات التحريض المغناطيسي ومعالجة كل حالة على حدة. كذلك اتبنت هذه الطريقة مقدرتها على البقاء مستقرة خلال تعرض المولد للأعطال الطارئة والشديدة داخلياً أو خارجياً الأمر الذي يعطى هذه الطريقة تميزاً على الطريقة التقليدية المعتمدة على استخدام المرحلات المسافية والتي لم تستطع الصمود أمام هذه الأعطال. كذلك يمكن دمج هذه الطريقة في منظومة حماية رقمية متكاملة للمولد خاصة وإنها تعتمد في عملها على بيانات يمكن أن تشارك فيها مع أنظمة الحماية الأخرى.



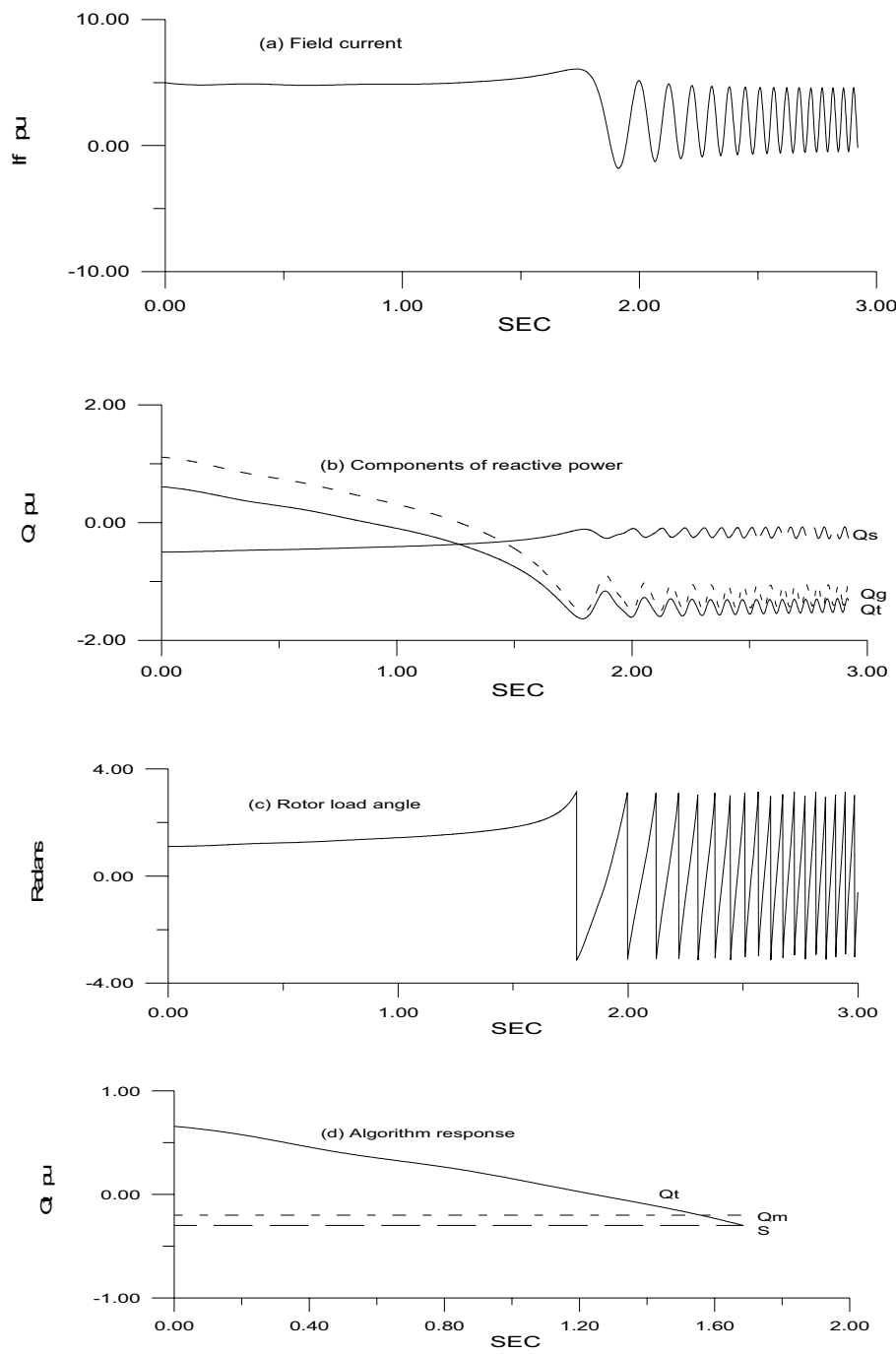
الشكل 2: إستجابة الألغوريتم لفقد التحريض المغناطيسي لمولد كهربائي عند الحمل الكامل ومعامل قدرة 0.8 متأخر (القطع خلال 0.816 ثانية) لاحظ أن PU تعنى النسبة للوحدة.



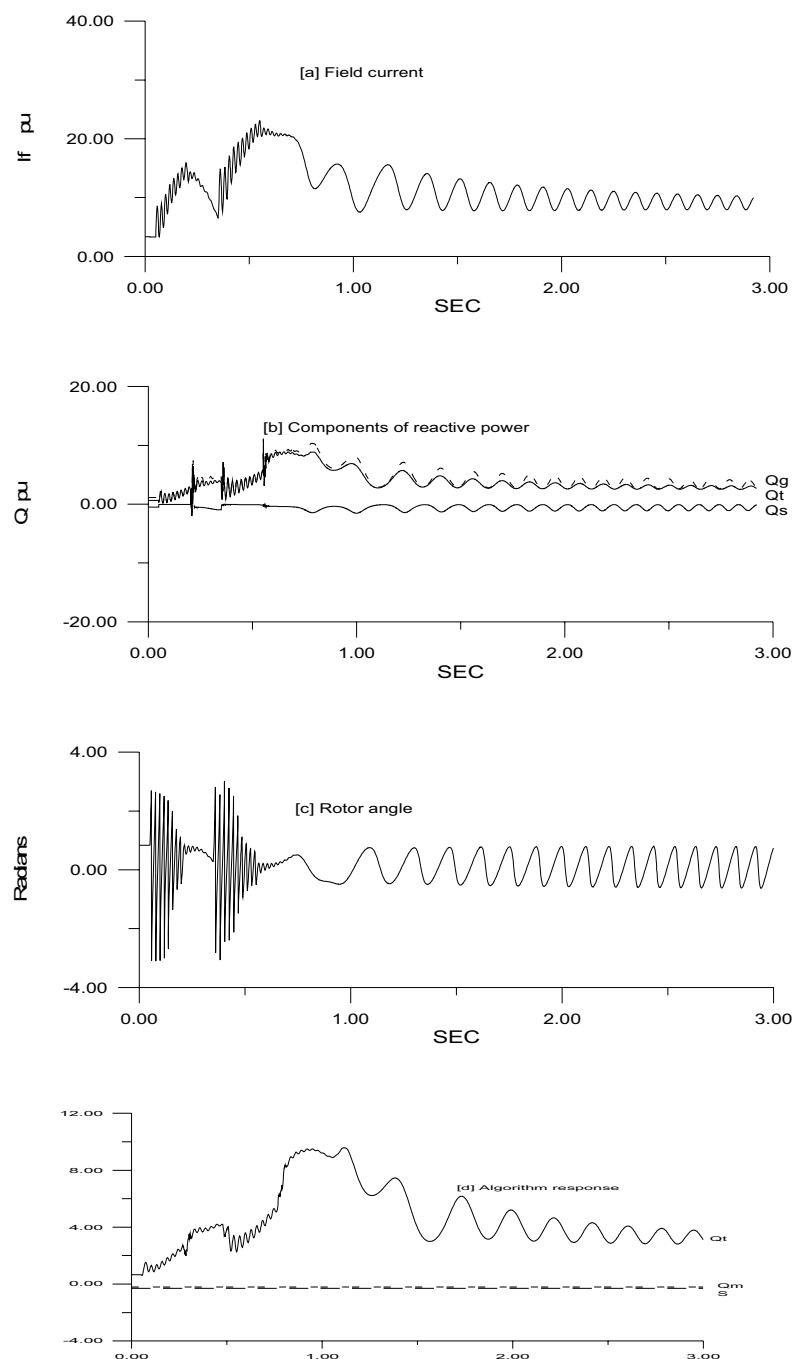
الشكل 3: إستجابة الألغوريتم لفقد التحريض المغناطيسي لمولد كهربائي عند الحمل الكامل ومعامل قدرة مساوى للوحدة (الفقطع خلال 0.46 ثانية).



الشكل 4: إستجابة الألغوريتم لفقد التحريض المغناطيسي لمولد كهربائي بدون حمل (القطع خلال 1.281 ثانية).



الشكل 5: إستجابة الألغوريتم لفقد جزئي لملفات التحريض المغناطيسى بواقع 50% لمولد كهربائى عند الحمل الكامل ومعامل قدرة مساوى للوحدة (القطع خلال 1.65 ثانية).



الشكل 6: إستجابة الألغوريتم لإعادة القفل على عطب ثلثي الأطوار لمولد كهربائي عند الحمل الكامل

REFERENCES

- [1] "IEEE Guide for AC Generator Protection," Trans. Power Delivery, vol.pp.957-964, April 1989.
- [2] John Berdy, "Loss of excitation protection for modern synchronous generators", IEEE Trans. On PA&S, Vol.PAS-94, No.5, Sep/Oct, 1975.
- [3] C.R.Mason, "A new loss of excitation relay for synchronous generators", AIEE Trans., Vol.68, 1949.
- [4] D.C.Lee, P.Kundur, and R.D.Brown, "A high speed discriminating generator loss of excitation protection", IEEE Trans. on PA&S, Vol.98, 1979.
- [5] R.L.Tremaine, and J.L.Blackburn, "Loss of field protection for synchronous machines", AIEE Trans. on PA&S, Vol. PAS -73, Part III, August 1954.
- [6] Charles R.Arnolt and McClellon Rogers, "A study of loss of excitation relaying and stability of a 595 MVA generator on the Detroit Edison System", IEEE Trans. on PA&S, Vol.PAS-94, No.5, Sept./Oct. 1975.
- [7] IEEE Working Group Report, "Loss of field Relay Operation During System Disturbances", IEEE Trans. On PAS -94, no.5, pp.1464-1472
- [8] B.O. Powell, J.W.Skooglund, and C.L.Wanger, "Performance of excitation systems under abnormal conditions", IEEE Trans. on PA&S, Vol. PAS-87, No.2, February 1968.
- [9] H.G.Darron, J.L.Koepfinger, J.R.Mather, and P.A.Rusch, "The influence of generator loss of excitation on bulk power system stability", IEEE Trans. on PA&S, Vol.PAS-96, No.5, Sept./Oct. 1975.
- [10] P.Kundur, "Power System Stability & Control, Vol. I", McGraw Hill Inc., 1993.
- [11] A. E. Fitzgerald, "Electric Machinery", McGraw-Hill Inc. 1992
- [12] IEEE Committee Report, "Survey of Experience with Generator Protection and Prospects for Improvements Using Digital Computer", IEEE Trans.on PWRD, Vol. 3, No. 4, Oct. 1988.
- [13] M.A.Redfern, and M.J.Checksfield, "A new pole slipping protection algorithm for dispersed storage and generators using equal area criterion", IEEE Trans. on PD , Vol.10, No.1, January 1995.
- [14] O.Usta, M.Bayrak and MA Redfern," A new digital relay for generator protection against asymmetrical faults", IEEE Trans. on PD , Vol.17, No.1, January 2002.
- [15] M H.Musa, "Fast detection of loss of field current of a generator", The 5th International Conference on Computational Aspects and Their applications CATAEE 2004, 16-18 March 2004, Philadelphia University- Jordan.

Appendix- A: Network data

1- Generator parameters:

| | | |
|--------------------------------|---------|---------------------------|
| Rating | 400.0 | MVA |
| Rated voltage | 24 | kV |
| Rated field current | 1050 | A |
| Number of poles | 2 | |
| Moment of inertia | 0.95 | M.Pound.Feet ² |
| Armature resistance | 0.00312 | pu |
| Armature leakage reactance | 0.15 | pu |
| d-axis reactance | 1.27 | pu |
| d-axis transient reactance | 0.245 | pu |
| d-axis sub-transient reactance | 0.2 | pu |

| | | |
|------------------------------------|-------|-----|
| q-axis reactance | 1.2 | pu |
| q-axis transient reactance | 0.245 | pu |
| q-axis sub-transient reactance | 0.2 | pu |
| d-axis open circuit time constant | 4.6 | sec |
| d-axis sub-transient time constant | 0.03 | sec |
| q-axis open circuit time constant | 0.66 | sec |
| q-axis sub-transient time constant | 0.06 | sec |

2- Transmission line:

Series impedance $1.33 + j 13.8$ Ohms/ph

3- Transformer:

Rated voltage 24/154 kV

4- Cable:

Series impedance $0.04 + j 4.0$ Ohms/ph